

# Теория

В сегодняшней статье расскажу, как на стенде измеряется угол, чем обеспечивается защита от дурака, и как мне помог чатжипити.

Итак, рабочая часть стенда представляет собой неуравновешенную балку с мотором и датчиком, называемыми вместе лучом. Исходное состояние луча - висит вертикально вниз. Тяга пропеллера создаёт момент силы, вращающий луч против часовой стрелки. Примем это направление за положительное, ограниченное углом  $170^\circ$ . В этом диапазоне сила тяжести всегда вращает луч в отрицательном направлении.

## Измерение угла

Первостепенная задача - измерение угла отклонения луча от исходной позиции. Затем нужно проверить, что луч вращается в вертикальной плоскости для предотвращения включения стенда в неправильном положении или выключения мотора при заваливании. Первую задачу можно решить при помощи энкодера на оси, а вторую - административно. Но у квадрокоптера нет энкодеров, а аварийные ситуации случаются самопроизвольно. Поэтому буду использовать инерциальный датчик MPU6050 в модуле GY-521.

В [одной из статей](#) я описал способ определения ориентации инерциального датчика. Она представляется в виде матрицы  $3 \times 3$ , в которой столбцы соответствуют осям датчика, а строки - проекции на север, запад и вертикаль. Казалось бы, прикрепи датчик к балке, посмотри направление оси  $\vec{z}$ , запомни направление  $\vec{y}$ , после поворота посчитай угол между прежним и текущим направлением. Но такой вариант доступен только при полной уверенности в том, что ось датчика  $\vec{z}$  параллельна оси луча, а я не стану гарантировать это.

Поэтому надо обобщить обе операции для случайного закрепления датчика. Как и раньше, алгоритм прототипируется в матлабе. МК обрабатывает данные датчика, вычисляет матрицу и отправляет её компьютеру по USB-CDC в виде массива из 9 байт. При запуске стенда луч неподвижен. Программа запоминает изначальную ориентацию датчика ( $M_1$ ). Матрица вращается вокруг вектора  $\vec{a}$ , и получается матрица  $M_2$ . Этот вектор и является осью вращения, надо вычислить его. Что мы знаем об  $\vec{a}$ ? Его проекции на  $M_1$  и  $M_2$  одинаковы, при этом матрицы связаны матрицей перехода:

$$M_{tr} = M_2 \cdot M_1^{-1}$$

То есть, при применении к  $\vec{a}$  линейного оператора  $M_{tr}$  снова выходит  $\vec{a}$ . Получается, что  $\vec{a}$  является собственным вектором для матрицы перехода. Так как матрица имеет размерность 3, то и собственных векторов тоже 3. Как выбрать нужный? Посчитать

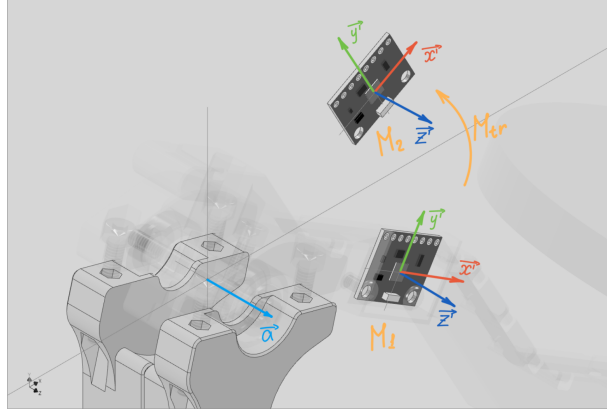


Рис. 6: Поворот датчика вокруг оси

собственные числа  $M_{tr}$  и выбрать вектор, соответствующий  $\lambda = 1$ . Почему? Потому что собственное число - это скаляр, который растягивает собственный вектор. При повороте растяжения не происходит, значит  $\lambda = 1$ .

У этого решения есть несколько нюансов. Во-первых, погрешности измерений, расчётов и неровность механики приводят к тому, что  $M_{tr}$  не в полной мере является матрицей поворота, и  $\lambda \neq 1$ . Поэтому приходится выбирать число наиболее близкое к 1, то есть, равное  $\min(|\lambda - 1|)$ . Во-вторых, вычисление собственных чисел матрицы - трудоёмкая задача как для микроконтроллера, так и для программиста. Прежде чем кинуться в написание сишных функций, я обратился за советом к чату жижи и не пожалел.

Совет 1. Транспонировать матрицу вместо вычисления обратной. Для ортогональной матрицы, к которой относится матрица ориентации,  $M^{-1} = M^T$ . Транспонировать матрицу проще, и это снизит нагрузку на работу МК.

Совет 2. Использовать след матрицы поворота для вычисления угла.

$$tr(M_{tr}) = M_{tr(11)} + M_{tr(22)} + M_{tr(33)} = 1 + 2\cos(\psi)$$

$$\psi = \arccos\left(\frac{tr(M_{tr}) - 1}{2}\right)$$

$\psi$  - угол поворота матрицы поворота.

Чтобы программа не ломалась, нужно ограничить значение  $tr(M_{tr})$  отрезком  $[-1; 1]$ . Теоретически, значение следа не должно вылезать за эти границы, но увы, ошибки вычислений. Данный метод возвращает значения от 0 до  $\pi$ , но это не проблема для моего стенда.

Совет 3. Извлекать ось вращения из антисимметричной части матрицы поворота.

$$\vec{a} = \frac{1}{2\sin(\psi)} \cdot \begin{bmatrix} M_{tr(32)} - M_{tr(23)} \\ M_{tr(13)} - M_{tr(31)} \\ M_{tr(21)} - M_{tr(12)} \end{bmatrix}$$

Таким образом, вычисления угла и оси стали быстрыми и непринуждёнными. При запуске стенда необходимо перевести луч из нижнего положения в положение повыше. Из полученных данных будет вычислен вектор оси. Угол между осью и вертикалью должен иметь значение, близкое к 0,  $5\pi$ . Сильное отклонение приведёт к переходу стенда в аварийное состояние и отключению мотора до перезапуска программы.

## Симуляция работы

Прежде чем угробить стенд жёсткими режимами работы, хотелось бы поиграть в математическое моделирование. Может быть, я получу полезный практический опыт или даже готовые коэффициенты ПИД. Для этого составлю уравнение динамики стенда, найду ПИД-регулятор для управления тягой, абстрагируюсь от задержки измерения угла и изменения тяги, инерции пропеллера.

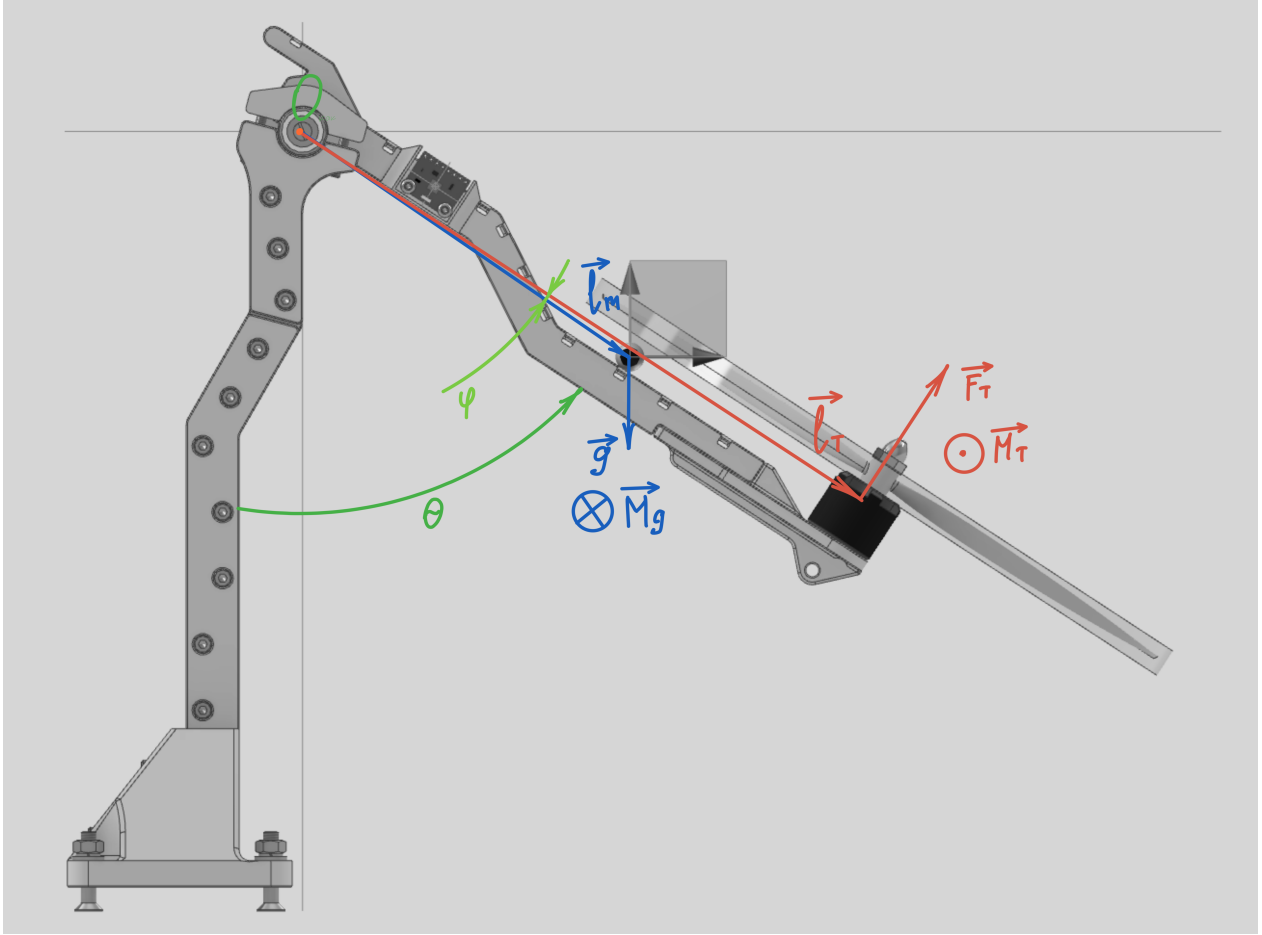


Рис. 7: Схема действия сил

Сила тяжести, действующая на луч и приложенная к центру масс луча, создаёт момент, равный

$$\vec{M}_g = \vec{l}_g \times m \vec{g}$$

или

$$M_g = m \cdot g \cdot l_g \cdot \sin(\theta - \varphi)$$

$m$  - масса луча,  $l_g$  - расстояние от оси О до центра масс луча,  $\theta$  - угол отклонения луча,  $\varphi$  - угол между лучом и вектором до центра масс.

Так как отклонение луча ограничено  $170^\circ$ , направление момента не меняется.

Уравнение статики для этой системы выглядит так:

$$\vec{M}_g + \vec{M}_t = 0$$

или

$$F_T \cdot l_T - m \cdot g \cdot l_m \cdot \sin(\theta - \varphi) = 0$$

$l_T$  - расстояние между осью луча и осью пропеллера,  $F_T$  - сила тяги пропеллера.

При дисбалансе сил возникает угловое ускорение:

$$\frac{F_T \cdot l_T - m \cdot g \cdot l_m \cdot \sin(\theta - \varphi)}{J} = \ddot{\theta}$$

Необходимо добавить сопротивление среды. К ним можно отнести силу трения покоя в подшипнике, силу сухого трения подшипника, силу вязкого сопротивления смазки и силу сопротивления воздуха. Силу сухого трения и трения покоя я исключаю, так как хорошо смазал подшипники вэдэшкой. Включим оставшиеся силы и получим уравнение динамики системы.

$$\frac{F_T \cdot l_T - m \cdot g \cdot l_m \cdot \sin(\theta - \varphi) - k_v \dot{\theta} - k_a \dot{\theta}^2 \cdot \text{sign}(\dot{\theta})}{J} = \ddot{\theta}$$

$J$  - момент инерции,  $k_v$  - коэффициент вязкого сопротивления смазки,  $k_a$  - коэффициент сопротивления воздуха.

Момент инерции и расстояние до центра масс вычислены в САПРе. Для этого я взвесил каждую деталь и прописал массу в физические свойства модели. Равномерность распределения массы по объёму является большим допущением для деталей, напечатанных на FDM-принтере, но это лучшее, что я смог реализовать.

$k_v$  и  $k_a$  - эмпирические коэффициенты. Я получил их значения экспериментально. Для этого закрепил мачту горизонтально, отвёл луч, позволил ему свободно колебаться под действием силы тяжести и получил функцию затухающих колебаний в табличном виде  $\theta_{exp}(t)$ . При этом диффур обретает вид

$$\begin{cases} \frac{-m \cdot g \cdot l_m \cdot \sin(\theta - \varphi) - k_v \dot{\theta} - k_a \dot{\theta}^2 \cdot \text{sign}(\dot{\theta})}{J} = \ddot{\theta} \\ \theta(0) = -39^\circ \\ \dot{\theta} = 0 \end{cases}$$

Затем написал матлаб-скрипт, численно решающий приведённый диффур с такими же начальными условиями, как у  $\theta_{exp}(t)$ . Обозначу вычисленные данные как  $\theta_{sim}(t)$ . Оба графика представлены на рисунке. Как можно увидеть, частоты значительно различаются, примерно в два раза. Она зависит от параметров  $l_m$  и  $J$ . Подбрав ручками  $J$ , я понял, что увеличение его вдвое исправляет проблему. После проверки масс всех деталей, я вспомнил, что мой любимый САПР указывает момент инерции относительно центра масс. Чтобы пересчитать значения  $J$  для вращения вокруг  $O$ , нужно применить теорему Гюйгенса-Штейнера:

$$J = J_C + m \cdot l_m^2$$

где  $J_C$  - момент инерции, рассчитанный САПРОм.

Отклонение частоты после корректировки уменьшилось до 3%; Теперь можно подобрать  $k_v$  и  $k_a$ . Сделать это можно следующим способом. Так как диффур исчерпывающий, можно надеяться, что при правильном выборе  $k_v$  и  $k_a$  графики совпадут. Хорошо бы сделать подбор автоматическим и оптимальным по времени. Сперва нужно выбрать

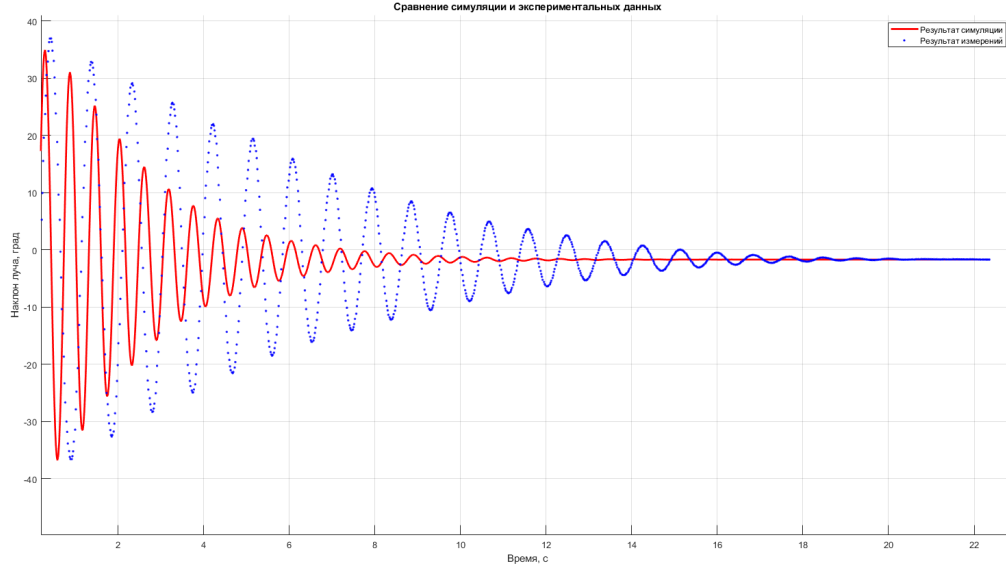


Рис. 8: Это фиаско

критерий совпадения графиков. Сумма квадратов невязок отлично подходит на роль меры.

$$RSS = \sum_{\tau=0}^n (\theta_{sim}(\tau) - \theta_{exp}(\tau))^2$$

Но вот незадача. Временные метки у  $\theta_{exp}(t)$  и  $\theta_{sim}(t)$  различаются, выбирать пары значений  $\theta$  с одинаковым аргументом не получится. К тому же, частоты незначительно различаются, на шестнадцатом периоде колебания сдвинуты на  $0,5\pi$ , поэтому RSS никогда не станет равным нулю (И что? Обоснуй. Мб будет плохо сходиться. Почему?). Однако известно, что  $k_v$  и  $k_a$  характеризуют форму огибающей и практически не влияют на период колебаний. Значит можно сравнивать огибающие этих графиков. Для этого из  $\theta_{exp}(t)$  и  $\theta_{sim}(t)$  выделяются пики с помощью функции `findpeaks`, обозначенные  $\gamma_{exp}(t)$  и  $\gamma_{sim}(t)$ . Затем надо интерполировать  $\gamma_{sim}(t)$  функцией `interp1` методом сплайн и получить соответствующие значения для временных меток  $\gamma_{exp}(t)$ . Теперь можно сравнить огибающие. Таким образом вычисление  $k_v$  и  $k_a$  сводится к минимизации функции RSS:

$$RSS(k_v, k_a) \rightarrow \min_{k_a, k_v \in R^2}$$

Для этого используется функция `fmincon` из пакета Optimization Toolbox. С начальным приближением  $k_v = 0, k_a = 0$  решение заняло 16 итераций. Результат можно видеть на графике выше, а полученные значения в таблице.

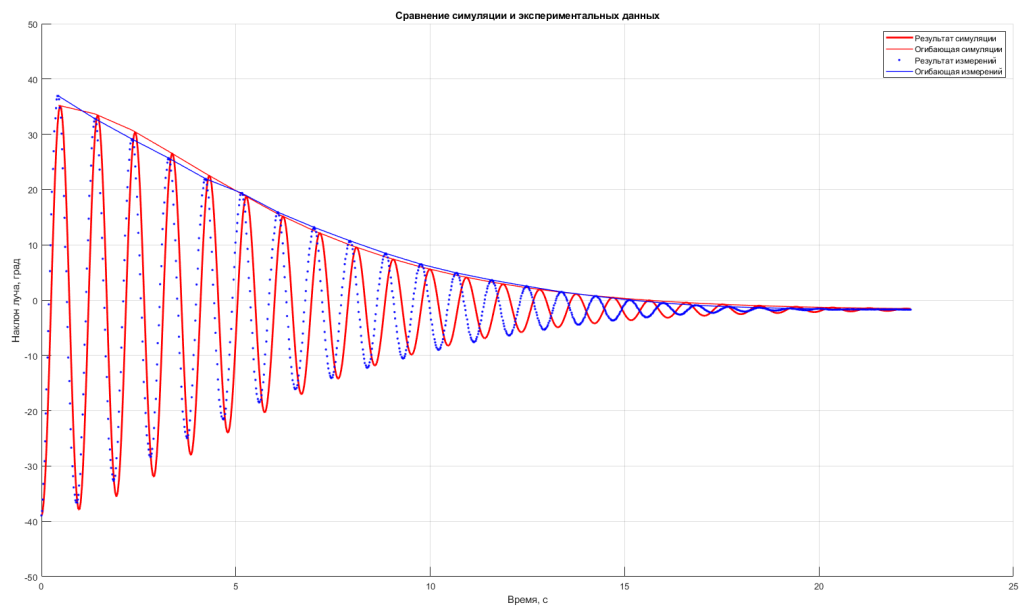


Рис. 9: Графики отлично накладываются

$J$ , кг·м <sup>2</sup>	5,52e-3
$m$ , кг	0,181
$l_m$ , м	0,139
$\psi$ , град	1,71
$k_v$ , попугаи	1,85e-3
$k_a$ , попугаи	1,06e-3

Теперь можно приступить к моделированию PID-регулятора.